

ЭЛЕКТРИЧЕСКИЕ ХАРАКТЕРИСТИКИ МИКРО-, МАКРО- И ИНТЕГРАЛЬНОГО КОНТАКТОВ ТОКОПРОВОДЯЩЕГО ИНСТРУМЕНТА С ИЗДЕЛИЕМ И СТРУЖКОЙ

В.И. Александров, Е.И. Глинкин, А.В. Егоров, Д.А. Руденко

Кафедра “Технология машиностроения,
металлорежущие станки и инструменты”, ТГТУ

Представлена членом редколлегии профессором В.И. Коноваловым

Ключевые слова и фразы: внешняя и внутренняя электрические цепи; ЭДС резания, макро- и микроконтактов; вольтамперные характеристики; сопротивления контактов.

Аннотация: Приводятся электрические характеристики контактов инструмента с изделием и стружкой различных уровней локализации и интегрального контакта “инструмент-изделие”, полученные экспериментально, расчетом по аналитической и компьютерной моделям. Это позволяет провести более полную оптимизацию процесса резания.

Обозначения

E^i – ЭДС локальных макроконтактов инструмента с изделием и стружкой, В;	ностей инструмента с изделием, соответственно, Ом;
E^{r^3} – ЭДС макроконтакта главной задней поверхности инструмента с изделием, В;	U – падение напряжения во внешней цепи интегрального контакта, В;
I^i – ток i -го локального макроконтакта, А;	$U_{x,y,z}^{\mu i}$ – падение напряжения во внешней цепи микроконтакта с координатами x, y, z i -го локального макроконтакта, В;
I^{r^3} – ток макроконтакта главной задней поверхности инструмента с изделием, А;	\bar{U}^i – среднее значение падения напряжения в i -х локальных макроконтактах инструмента с изделием и стружкой, В;
$I_{x,y,z}^{\mu 1}, I_{x,y,z}^{\mu 3}$ – ток, проходящий через микроконтакт с координатами x, y, z i -го локального макроконтакта, А;	$U_{x,y,z}^{\mu 1}, U_{x,y,z}^{\mu 3}$ – падения напряжения в микроконтактах с координатами x, y, z передней поверхности инструмента со стружкой и задних поверхностей инструмента с изделием, соответственно, В;
$I_{x,y,z}^{\mu \pi}, I_{x,y,z}^{\mu 3}$ – токи в микроконтактах, с текущими координатами x, y, z , передней поверхностью инструмента со стружкой и задних поверхностей инструмента с изделием, соответственно, А;	$\gamma_{x,y,z}^{\mu i}$ – проводимость микроконтактов с координатами x, y, z i -го локального макроконтакта, См.
n^i – количество микроконтактов в i -м локальном макроконтакте инструмента с изделием или стружкой;	
R – сопротивление внешней цепи технологической системы, Ом;	
r^i – сопротивление i -го локального макроконтакта, Ом;	
$r_{x,y,z}^{\mu \pi}, r_{x,y,z}^{\mu 3}$ – внутренние сопротивления микроисточников ЭДС с текущими координатами x, y, z , передней поверхности инструмента со стружкой и задних поверхностей инструмента с изделием, соответственно, Ом;	

Индексы

- i – локальный макроконтакт: передней поверхности инструмента со стружкой; главной задней поверхности инструмента с поверхностью резания изделия; вспомогательной задней поверхности с обработанной поверхностью изделия;
 x, y, z – координаты микроконтактов электрофизической модели.

Введение

Многочисленные, ранее проводившиеся в стране и за рубежом, исследования электрических явлений при резании различных металлов инструментами разных типов и марок токопроводящего материала позволили с достаточной точностью установить только величину и порядок ЭДС, генерируемых интегральным контактом “инструмент-изделие”. Данные о величинах токов и сопротивлениях интегрального контакта до настоящего времени носят дискуссионный характер, а данные об электрических характеристиках локальных макро- и микроконтактов отсутствуют. Отсутствие данных об электрических характеристиках макро- и микроконтактов не позволяет проникнуть в суть явлений, происходящих в зоне резания, понять их природу и, как следствие, принять обоснованные управляющие решения по устранению или минимизации негативного воздействия электрического тока на износостойкость инструмента и качество обработки изделия.

Электрические характеристики микроконтактов рабочих поверхностей инструмента

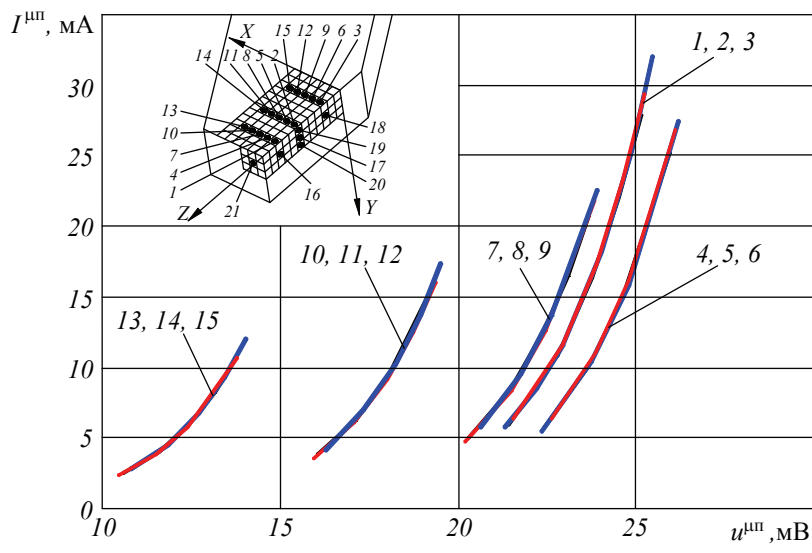
Вольтамперные характеристики (**BAX**) микроконтактов, полученные по [1], их нумерация и схема расположения на рабочих поверхностях инструмента показаны на рис. 1. Нумерация кривых BAX на рис. 1 и 2 соответствует нумерации микроконтактов.

Анализ BAX микроконтактов передней поверхности инструмента со стружкой (см. рис. 1, a) показывает, что все они нелинейны, причем величина токов $I_{x,y,z}^{\mu\mu}$ и напряжений $u_{x,y,z}^{\mu\mu}$ в микроконтактах, а также их сопротивление $r_{x,y,z}^{\mu\mu}$ существенно зависят от их координаты. При обычных условиях обработки, характеризующихся импульсными колебаниями сопротивления R внешней цепи технологической системы, величина тока, падение напряжения в микровыступах инструмента и сопротивление микроконтактов передней поверхности инструмента зависят от состояния внешней цепи технологической системы и импульсно изменяются с частотой, равной частоте изменений состояния внешней цепи. Направления токов в микровыступах передней поверхности инструмента от состояния внешней цепи технологической системы не зависят, и в любом ее состоянии токи имеют положительное направление – из инструмента в стружку.

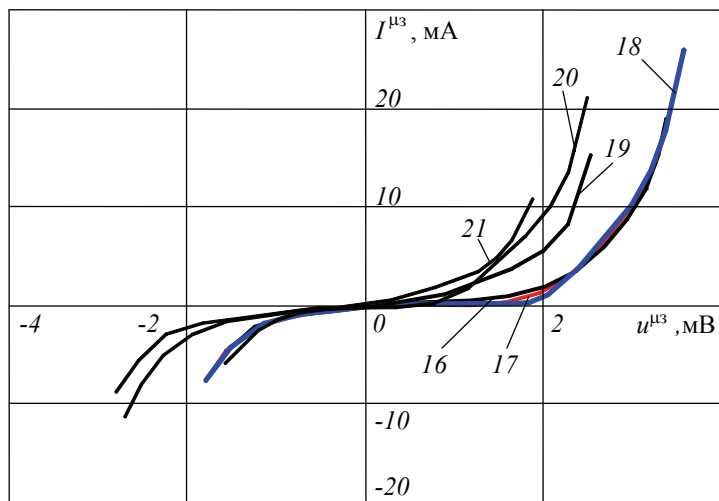
В разомкнутом состоянии внешней цепи токи в микровыступах передней поверхности достигают минимальной величины. Меньшие значения токов в разомкнутом состоянии внешней цепи возникают на периферии контакта. Более существенные отличия в величине токов на микровыступах передней поверхности возникают при коротком замыкании внешней цепи. В моменты короткого замыкания ($R \rightarrow 0$) максимальные токи, величиной 27,87...32,04 мА, проходят через микроконтакты 1, 2 и 3, лежащие в непосредственной близости к главной режущей кромке (см. вставку на рис. 1, a).

Напряжения $u_{x,y,z}^{\mu\mu}$ микроконтактов также зависят от их координаты и состояния внешней цепи. Размыкание внешней цепи приводит к снижению напряжения микроконтактов на 3...4 мВ.

На рис. 2, a показано влияние состояния внешней цепи технологической системы металлообработки на сопротивление микроконтактов передней поверхности инструмента. Сравнительный анализ кривых на рис. 1, a и 2, a показывает, что сопротивление микроконтактов зеркально их BAX. Максимальные сопротивления микроконтактов в пределах 3,34...4,55 Ом возникают при размыкании внешней



a)



б)

Рис. 1 ВАХ микроконтактов рабочих поверхностей инструмента

цепи. В замкнутом состоянии внешней цепи сопротивления микроконтактов монотонно падают до 0,789...1,17 Ом. Максимальные сопротивления при всех состояниях внешней цепи имеют микроконтакты 13, 14 и 15, расположенные на периферии макроконтакта передней поверхности. Во всех состояниях внешней цепи технологической системы минимальными сопротивлениями обладают микроконтакты 1, 2 и 3, примыкающие к главной режущей кромке инструмента. Колебание сопротивления микроконтактов 1, 2 и 3, примыкающих к главной режущей кромке максимально по отношению ко всем другим микроконтактам передней поверхности.

На рис. 1, б показаны ВАХ микроконтактов задних поверхностей инструмента с изделием, которые принципиально отличаются от ВАХ контакта передней поверхности инструмента со стружкой. ВАХ микроконтактов задних поверхностей также нелинейны, но имеют три предельных состояния и две ветви, одна из которых располагается в области положительных значений, а другая – в области отрицательных значений напряжений и тока. В обычных условиях резания, токи в микроконтактах задней поверхности растут по мере снижения сопротивления внешней цепи и при $R = 10^{-5}$ Ом достигают величины 10,74...26 мА – одного порядка с токами передней поверхности. Инверсия тока в отдельном микроконтакте задней поверхности возникает при превышении напряжения внешней цепи этого микроконтакта над величиной генерируемой им ЭДС. При $R > 0,007...0,015$ Ом внешняя цепь стремится к разомкнутому состоянию и все микроконтакты задней поверхности инструмента постепенно трансформируются в потребителей электрической энергии. В разомкнутом состоянии внешней цепи через микроконтакты задней поверхности текут токи величиной 5,8...11,32 мА. Размыкание внешней цепи параллельно с инверсией снижает токи в микроконтактах задней поверхности инструмента.

Максимальные же сопротивления (рис. 2, б), достигающие 1,6...4,5 Ом, микроконтакты задней поверхности инструмента имеют при сопротивлениях R внешней цепи порядка 0,007...0,01 Ом, при которых ток на микроконтактах равен или близок к нулю. Анализ кривых на рис. 2, б показывает также, что сопротивления внешней цепи, превышающие $2 \cdot 10^{-2}$ Ом, на сопротивления микроконтактов задней поверхности инструмента практического влияния не оказывают.

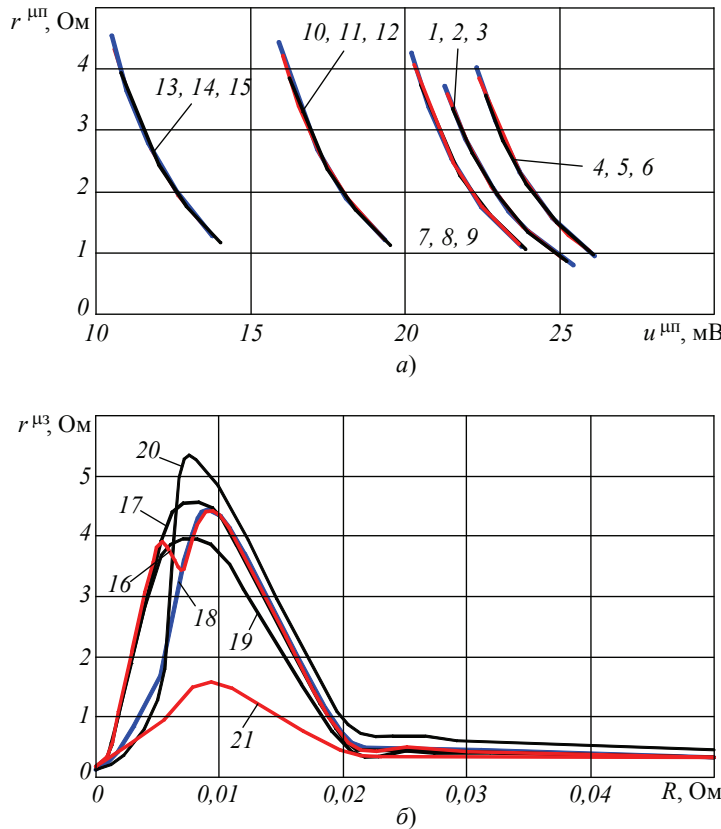


Рис. 2 Влияние состояния внешней цепи на сопротивление микроконтактов рабочих поверхностей инструмента

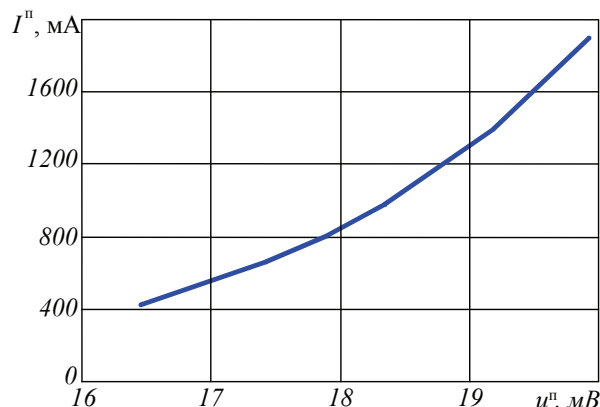
Электрические характеристики макроконтактов инструмента с изделием и стружкой

На рис. 3 представлены ВАХ i -х локальных макроконтактов инструмента с изделием и стружкой, генерирующих ЭДС E^i и состоящих из n^i числа микроконтактов, полученные в результате расчета [1] средних напряжений \bar{u}^i , токов I^i и сопротивлений r^i макроконтактов, по формулам:

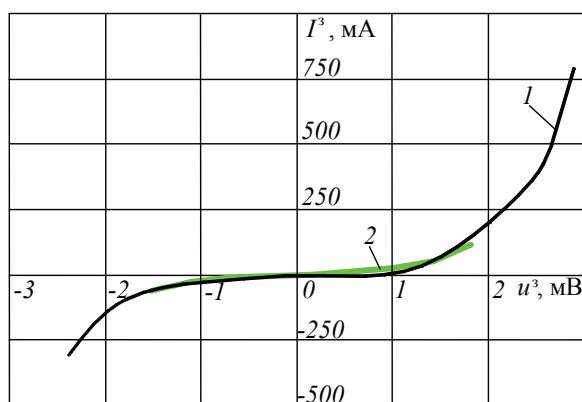
$$\bar{u}^i = E^i - \frac{1}{n^i} \sum_{1}^{n^i} U_{x,y,z}^{\mu i}, \quad (1)$$

$$I^i = \sum_{1}^{n^i} I_{x,y,z}^{\mu i}, \quad (2)$$

$$r^i = \frac{1}{\sum_{1}^{n^i} y_{x,y,z}^{\mu i}}. \quad (3)$$



a)



б)

Рис. 3 ВАХ макроконтактов рабочих поверхностей инструмента

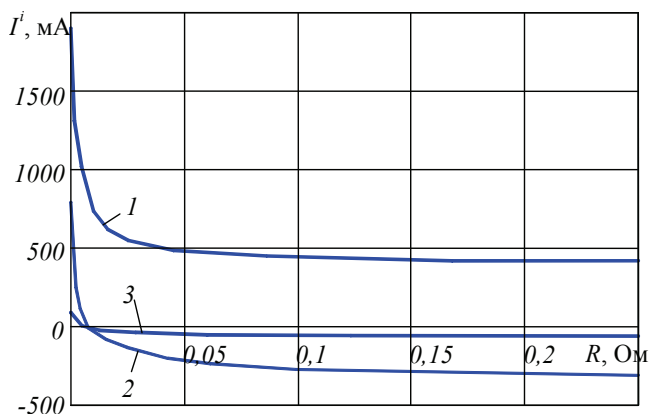
ВАХ макроконтакта передней поверхности инструмента со стружкой экспоненциально нелинейна и охватывает весь диапазон, действующих на ней напряжений при сопротивлениях R от 10^{-5} до 10^3 Ом. Максимальные напряжения ~ 20 мВ и токи ~ 1900 мА возникают на передней поверхности инструмента при коротком замыкании внешней цепи. В разомкнутом состоянии внешней цепи напряжения и токи на передней поверхности снижаются и достигают минимальных значений: соответственно $\sim 16,5$ мВ и ~ 422 мА. Таким образом, импульсная смена замкнутого состояния внешней цепи на разомкнутое снижает напряжение контакта в 1,2 раза и, не изменяя направления, силу тока – в 4,5 раза.

ВАХ макроконтактов задних поверхностей инструмента с изделием (рис. 3, б) также экспоненциально нелинейны, но имеют более сложную форму. Начало координат для кривых $U(I)$ является характерной точкой, разделяющей их на два участка, в которой U и I равны нулю. Область положительных значений тока и напряжения ВАХ соответствует малым сопротивлениям R и направлению тока, принятому за положительное, т.е. из задней поверхности инструмента – в изделие, при котором макроконтакт является источником электрической энергии. Совместный анализ графиков на рис. 3, а и рис. 3, б показывает, что в замкнутом состоянии внешней цепи ток в макроконтакте передней поверхности инструмента со стружкой превышает ток в макроконтакте задних поверхностей инструмента с изделием в 2,1 раза. При размыкании внешней цепи локальные токи макроконтактов передней и задней поверхностей инструмента сближаются по абсолютной величине.

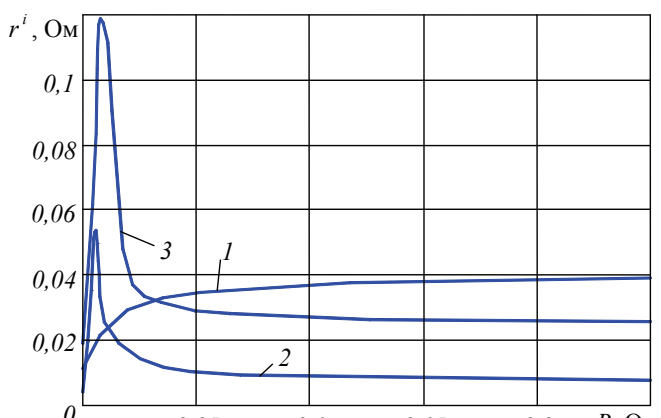
На рис. 4 представлены графики влияния сопротивления R внешней цепи технологической системы на величину токов I^i и сопротивлений r^i локальных макроконтактов инструмента. Из графиков на рис. 4, а видно, что максимальные токи проходят через макроконтакт передней поверхности инструмента со стружкой (кривая 1). Направление токов на передней поверхности инструмента инвариантно к состоянию внешней цепи технологической системы. В большей части диапазона R величина токов макроконтакта передней поверхности практически стабильна и функция $I^\Pi(R)$ близка к линейной. В диапазоне $4,5 \cdot 10^{-2} > R > 1 \cdot 10^5$ Ом функция $I^\Pi(R)$ подчиняется экспоненциальному закону, и при $R = 1 \cdot 10^{-5}$ Ом ток в макроконтакте достигает 1900 мА.

Характер функций $I^{3i}(R)$ для макроконтактов главной (кривая 2) и вспомогательной (кривая 3) задних поверхностей подобен характеру функции $I^\Pi(R)$ макроконтакта передней поверхности инструмента со стружкой. Отличительными особенностями кривых 2 и 3 по сравнению с кривой 1 является то, что, во-первых, через макроконтакты задних поверхностей инструмента протекают токи меньшей величины; во-вторых, то, что в диапазоне $0,005 < R < 1000$ Ом результирующие токи в макроконтактах задних поверхностей имеют отрицательный знак, т.е. направлены встречно результирующему току в макроконтакте передней поверхности и, в-третьих, то, что при $R = 0,005$ Ом токи в макроконтактах задних поверхностей равны нулю.

Несомненный, причем, не только теоретический, интерес представляют графики $r^i(R)$, показанные на рис. 4, б. В большей части диапазона R – от ∞ до $0,1$ Ом кривые практически параллельны друг другу и оси абсцисс. В диапазоне $1 \cdot 10^{-1} > R > 1 \cdot 10^{-5}$ Ом результирующее сопротивление макроконтакта передней поверхности инструмента со стружкой экспоненциально убывает и при коротком замыкании контакта «инструмент-изделие» достигает своей минимальной величины – 0,011 Ом. Зависимости $r^i(R)$ макроконтактов задних поверхностей инструмента с изделием носят импульсно-экстремальный характер, достигая при $R = 0,005$ Ом максимума в 0,093 и 0,12 Ом, соответственно для макроконтакта с изделием главной



a)



б)

Рис. 4 Влияние сопротивления внешней цепи на силу тока (а) и сопротивление (б) макроконтактов рабочих поверхностей инструмента

и вспомогательной задних поверхностей инструмента. Таким образом, максимальное, хотя и кратковременное, сопротивление макроконтактов задних поверхностей инструмента с изделием возникает не в стablyно разомкнутом состоянии внешней цепи, как предполагали ранее многие исследователи электрических явлений при резании, а при R , близких к предельному, при котором контакт «инструмент-изделие» замкнут накоротко.

Электрические характеристики интегрального контакта «инструмент-изделие» и электрические поля в зоне резания

На рис. 5 представлены ВАХ интегрального контакта «инструмент-изделие», полученные экспериментально – кривая 3; расчетом по аналитической модели [2, 3] – кривая 2; расчетом по компьютерной модели [1] – кривая 1.

Для построения экспериментальной ВАХ сопротивление внешней цепи R изменялось в диапазоне от 0,003 до 1000 Ом. При вышеназванных геометрических и режимных параметрах ЭДС резания E составила 12 мВ.

Как видно из рис. 5, экспериментальная ВАХ не дает исчерпывающей информации о величинах тока и сопротивлений контакта «инструмент-изделие».

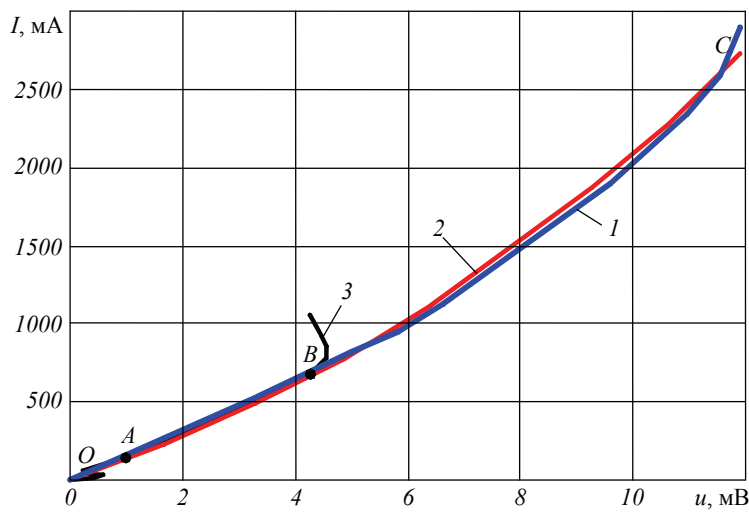


Рис. 5 ВАХ интегрального контакта «инструмент-изделие»

Область корректных значений напряжения и тока экспериментальной ВАХ ограничена участком AB , полученным при сопротивлениях внешней цепи $0,01 < R < 0,07$ Ом. Информация о силе тока и сопротивлении контакта при $4,36 < U < 12$ мВ и $R < 0,01$ Ом, а также при $0 < U < 1,05$ мВ и $R > 0,07$ Ом отсутствует. При этом экспериментально найденная сила тока в контакте находится в пределах 150,3...720,3 мА.

Кривая 1 (см. рис. 5) охватывает весь ($0\dots12$ мВ) диапазон напряжений интегрального контакта и практически полностью совпадает с участком AB корректных измерений кривой 3, что свидетельствует об адекватности разработанной компьютерной электрофизической модели электрическим процессам, протекающим при резании в контакте «инструмент-изделие».

На рис. 6 показаны электрические поля в сечении главной секущей плоскостью, проходящей через середину длины площадки контакта, возникающие при установившемся несвободном резании, при трех характерных состояниях внешней цепи технологической системы. На схемах стрелками показано направление и величина тока в каждой из ячеек массива [1]. В разомкнутом состоянии внешней цепи (см. рис. 6, а), когда падение напряжения U в ней больше ЭДС $E^{Г_3}$, вся энергия, генерируемая контактом, им же и поглощается. При этом источником электрической энергии является контакт передней поверхности инструмента со стружкой, а контакт задней поверхности инструмента с изделием – потребителем (ток $I^{Г_3}$ направлен из изделия в инструмент).

В другом предельном состоянии (рис. 6, б) сопротивление внешней цепи не превышает 10^{-5} Ом, напряжение $U < E^{Г_3}$, т. е. ток $I^{Г_3}$ направлен из инструмента в изделие. При этом как передняя, так и задняя поверхности инструмента являются источниками энергии.

Электрическое поле, показанное на рис. 6, б, соответствует состоянию внешней цепи технологической системы при котором ток в контакте задней поверхности инструмента с изделием равен нулю или близок к нулевому значению, а ток, регистрируемый во внешней цепи, равен току в контакте передней поверхности инструмента со стружкой.

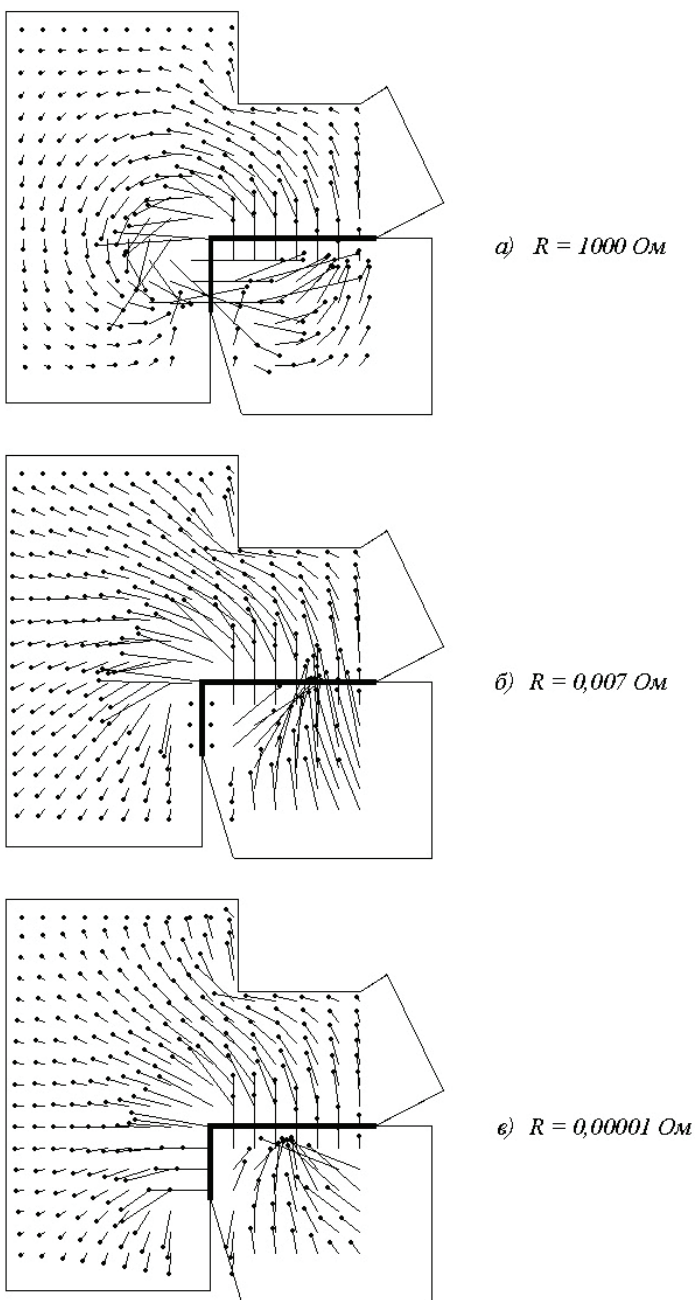


Рис. 6 Влияние состояния внешней цепи технологической системы на электрические поля в зоне развития

Выводы

Компьютерная модель в сочетании с экспериментальными данными об электрических характеристиках локальных макроконтактов, полученными при одном сопротивлении внешней цепи, позволяет выявить электрические характеристики не только интегрального, но и макро- и микроконтактов во всем диапазоне сопротивлений внешней цепи технологической системы. При этом:

1. Величины токов, напряжений и сопротивлений микроконтактов рабочих поверхностей инструмента с изделием и стружкой существенно зависят от их расположения.

2. В микроконтактах передней поверхности инструмента в разомкнутом состоянии внешней цепи отмечается примерное равенство токов, которое по мере снижения сопротивления внешней цепи все более нарушается. Максимальные токи проходят через микроконтакты передней поверхности, лежащие в непосредственной близости к главной режущей кромке.

3. ВАХ микроконтактов и локальных макроконтактов задних поверхностей инструмента носят знакопеременный характер.

4. Смена предельных состояний внешней цепи приводит к изменению напряжений микроконтактов задней поверхности инструмента с изделием в существенно более узких пределах по сравнению с перепадом напряжений микроконтактов передней поверхности инструмента со стружкой.

5. Максимальные сопротивления при всех состояниях внешней цепи имеют микроконтакты, расположенные на периферии макроконтакта передней поверхности, а минимальные – микроконтакты макроконтакта передней поверхности, примыкающие к главной режущей кромке инструмента.

Полученная информация о электрических характеристиках контактов разных уровней локализации использована авторами для экспериментальной оценки влияния тока на стойкость инструмента.

Список литературы

1. Александров В.И., Глинкин Е.И., Егоров А.В., Руденко Д.А. Электрофизическая модель контактов инструмента с изделием и стружкой // Вестник ТГТУ. – 2003. №3. – Т. 9. – С. 493-502.
2. Глинкин Е.И. Схемотехника аналоговых интегральных схем. – Тамбов: ТГТУ, 2000. – 120 с.
3. Митрофанов О.В., Симонов Б.М., Коледов Л.А. Физические основы функционирования изделий микроэлектроники. – М.: Высш. шк., 1987. – 168 с.

Electrical Characteristics of Micro-, Macro- and Integral Contacts of Wiring Instrument with Product and Chip

V.I. Alexandrov, E.I. Glinkin, A.V. Egorov, D.A. Rudenko

*Department “Technology of Machine Building, Metal-Cut Machines
and Instruments”, TSTU*

Key words and phrases: external and internal circuits; electromotive of cutting; macro- and micro-contacts; volt-ampere characteristics; contact resistance.

Abstract: Electrical characteristics of contacts of an instrument with chip at different levels of localization and integral contact “instrument – product” are given. They are obtained through experimental calculation using analytical and computer models, knowledge of which allows to optimize the process of cutting.

Elektrische Charakteristiken von Mikro-, Makro- und Integralkontakten des stromleitenden Werkzeuges mit dem Erzeugnis und dem Span

Zusammenfassung: Es werden die elektrischen Charakteristiken von Kontakten des Werkzeuges mit dem Erzeugnis und dem Span der verschiedenen Lokalisierungsschichten und des Integralkontaktes “Werkzeug – Erzeugnis” angeführt. Diese mit der Berechnung nach Analytik- und Computermodellen erhaltene Charakteristiken lassen sich die völlere Optimisation des Schneidenprozesses durchgeführt.

Caractéristiques électriques des contacts micro, macro et intégraux de l'outil conducteur du courant électrique avec un produit et un copeau

Résumé: Sont citées les caractéristiques électriques des contacts de l'outil avec un produit et un copeau de différents niveaux de la localisation et du contact intégral “outil-produit”, reçues expérimentalement par un calcul d'après les modèles, analytiques et informatiques dont la connaissance permet de réaliser une optimisation plus complète du processus de coupe.
